

名古屋大学 正員 河上省吾  
 豊田高専 ○荻野 弘  
 名古屋大学 青島総次郎

## 1. まえがき

近年の自動車交通の激増、高速化により道路交通騒音が重大な関心事となってきた。单路部における交通騒音に関する研究はすでにされているが、信号制御された場合においてはいまだ不十分である。本研究は信号制御されている交差点周辺の騒音の状態をシミュレーションにより求めた場合と、道路沿いの任意点における騒音の状態を数値計算によって求めることについて検討したものである。

## 2. シミュレーションによるサイクル長と交差点周辺の騒音との関係

### (1) シミュレーションモデルの概要

- (a) 道路は4車線で各車線400m/時の交通量である。
- (b) 道路への流入は交差点の手前400mからボアソン分布で行なう。
- (c) 信号サイクル長は80秒、100秒、120秒の3種類で、スプリットは黄5秒で青赤の比率は同じとする。
- (d) 自由走行速度は65~15km/時で、丸数処理により一様分布させる。
- (e) 前車が遅い場合で車線変更可能な時は車線変更による追越車をさせる。
- (f) 車種は普通車のみとし、加速度は2m/s<sup>2</sup>であり、減速は安全車頭時間間隔を維持できるような形で行なう。

図1 交差点周辺図

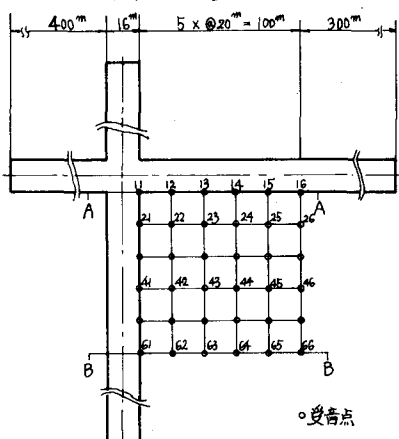
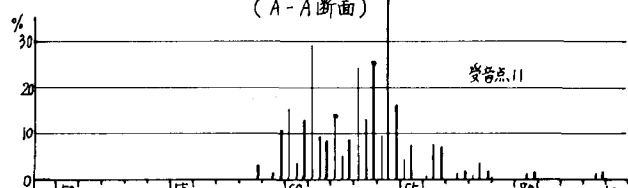


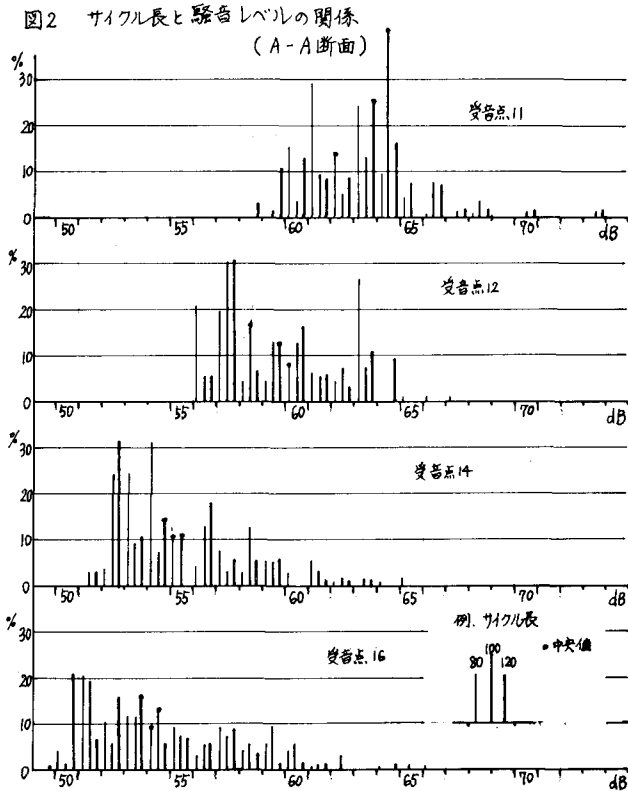
図2 サイクル長と騒音レベルの関係  
(A-A断面)



- (g) 音響パワー  $W_i$  は路側での騒音レベル(SPL)を %  
65~90dB(A)の一様分布を与える。式より逆算して求めた。  
 $SPL_i = 10 \log_{10} \left\{ W_i / (4\pi I^2) \right\}$  ----- (1)
- (h) 停止時は7.9dB減り、自由走行時に与えられたSPL<sub>i</sub>となるように速度変化を考えた。
- (i) 受音点は交差点周辺を図1のように20mの網目に区切った点とした。

スキャニングタイムは走行状態については1秒、騒音については2秒である。許された計算時間の関係でシミュレーション開始100秒後から120秒間のサンプルで評価している。

- (j) 計算結果 計算結果を図2.3に示す。
- 図2から、交差点および路側での騒音レベルは広く分布しており、常時高騒音にさらされていることが判る。図3から、路側から20m離れるところがかなり減衰していることが判る。サイクル長が長いほど騒音レベルは高く分布しているが、サンプル数が少なく経験づけはできないが、サイクル長が長いと高速で交差点を通過する比率が



高くなるためと考えられる。

### 3. 道路網における騒音の予測

道路工上の車を点音源と考えた場合の受音点Nの騒音レベルSPLは  $SPL = 10 \log_{10} \frac{1}{4\pi l_0} \left( \sum_i \frac{W_i}{l_i} \right) \dots \dots \dots (2)$

いま全車が同一の音響パワーWを持っていて、 $l_i$ という距離に $q_i$ という交通量がある場合、(2)式は

$$SPL = 10 \log_{10} W / 4\pi l_0 \times \left\{ \sum_i q_i / l_i^2 \right\} \dots \dots \dots (3)$$

道路上の交通密度が $f(x, t)$ である場合、交通量は

$$q(x, t) = f(x, t) dx \dots \dots \dots (4)$$

受音点Nからの距離 $lx$ は

$$lx^2 = z^2 + (x - x_i)^2 \dots \dots \dots (5)$$

図4で $\vec{i}_j$ と $\vec{j}_i$ の場合、

(3)式に(4)(5)式の関係を代入すればよい。

$$SPL_N = 10 \log_{10} \frac{W}{4\pi l_0} \left\{ \int_{-\infty}^{\infty} \frac{f(x, t)}{z^2 + (x - x_i)^2} dx + \int_{-\infty}^{\infty} \frac{f'(y, t)}{(z - w)^2 + (y - y_i)^2} dy \right\} \dots \dots \dots (6)$$

また、 $\vec{i}_j$ 、 $\vec{j}_i$ についても同様であり、(6)式の{ }に加え込むことにより図4の場合における受音点Nの騒音レベルが求められる。 $f(x, t)$ については図5より、初期条件も=0で、 $f(x, 0) = g(x) \dots \dots \dots (7)$ である場合を考えると、時間もで $x$ の位置にいる速度 $v$ の車は $t=0$ では $x-vt$ の位置にいたことになる。空間平均速度の確率密度を $f(v)$ とすると、その車が $v$ と $v+dv$ にある確率は $f(v)dv$ であり、交通密度 $f(x, t)$ は  $f(x, t) = \int f(v)g(x-vt)dv \dots \dots \dots (8)$

いま $f(v)$ が平均値 $\bar{v}$ 、標準偏差 $\sigma$ の正規分布の場合で、停止行列長を $a$ 、停止時の密度を $K$ とすると  $g(x) = K, -a \leq x \leq 0, g(x) = 0, x > 0 \dots \dots \dots (9)$

$$f(x, t) = \frac{K}{\sqrt{2\pi}\sigma} \int_{-\infty}^x e^{-\frac{(v-\bar{v})^2}{2\sigma^2}} dv \dots \dots \dots (10)$$

$$U_1 = (x/\bar{v} - t)/(\sqrt{2}\sigma/v), U_2 = ((x+a)/\bar{v} - t)/(\sqrt{2}\sigma/v) \dots \dots \dots (11)$$

とおくと(10)式は  $f(x, t) = \frac{K}{2} [\operatorname{erf}(u_2)]^{u_1} \dots \dots \dots (12) \quad [\operatorname{erf}(u) = \frac{1}{2} \int_{-\infty}^u e^{-t^2} dt]$

また $f(y, t)$ については $\vec{j}_i$ のオフセットを $\theta_{ij}$ (秒)とすると(12)式の $t$ を $t-\theta_{ij}$ とすればよい。空間平均速度は発進時には距離の関数になるので、図5のI, II, IIIで $\vec{j}_i$ を変えることにより発進時を考慮しうる。

また(12)式は追越が自由という仮定で導かれているので、多車線の場合には問題ないが2車線道路では完全に追従することになり、(12)式のままでは適用できない。しかし先頭車の時間までの空間分布 $P_1(x, t)$ と、車両中の車頭間隔 $P(d)$ とをたたみ込むことにより2台目の空間分布 $P_2(x, t)$ が、以下順次求まって全体では  $f(x, t) = [P_1(x, t) + P_2(x, t) + \dots + P_n(x, t)]/n \dots \dots \dots (13)$

で追従関係にある場合の密度も求まる。右左折流入車についてはオフセットの場合と同様に $\frac{1}{2}$ の時間遅れを考える。

4. あとがき サイクル長と騒音レベルの関係は、交通量が車線あたり400台/時では明確な差違は認められなかつたが、サイクル長が長いと高く分布することが判つた。また(6)式を数値計算すればサイクル長、オフセット、スプリット、さらには右左折についての影響も知ることができ、騒音レベルの予測に使えよう。計算は名大大型計算機センターFACOM230-60によつた。

参考文献 ①羽山・山本他 モンテカルロ法による交通騒音の推算 土木学会論文集No.154 昭和44年6月

②金井・鎌倉 道路交通騒音の予測に関する考察 道路 昭和44年2月

③米谷・瀬戸他 交通工学 P120

国民科学社

④Pacey Progress of a Bunch of Vehicle Released from a Traffic Signal! Road-Research Laboratory England Report, No.RR/665 (1956)

⑤羽野 車両の左折における速度差違の考察

豊田高専研究会報 昭和44年10月

図3 サイクル長と騒音レベルの関係  
(B-B断面)

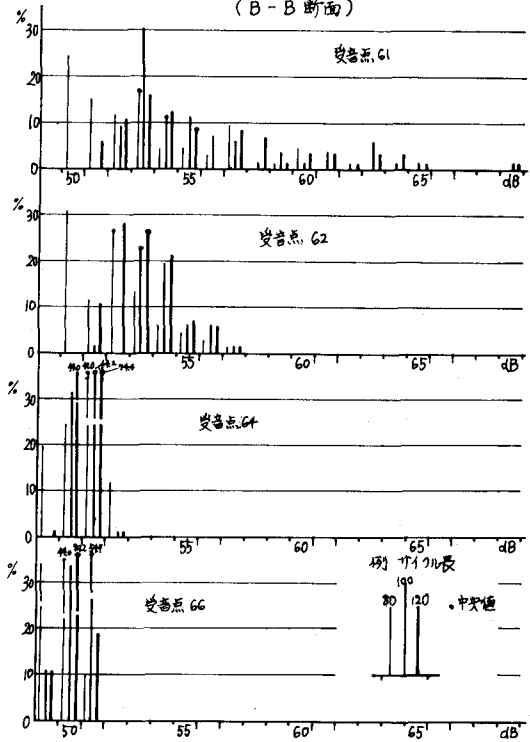


図4 道路網と受音点との関係

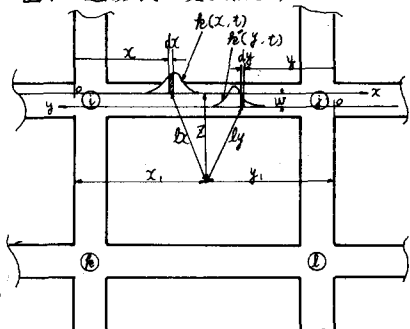


図5 密度の拡散状態

